



Semecon Oy

Vasama

Yhteisvaikutusten väikeselvitys

23.03.2026

Copyright © AFRY Finland Oy

Kaikki oikeudet pidätetään. Tätä asiakirjaa tai osaa siitä ei saa kopioida tai jäljentää missään muodossa ilman AFRY Finland Oy:n antamaa kirjallista lupaa.

AFRY Finland Oy:n projektinumero on 101035317-001.

Kannen kuva: © AFRY

Selvityksessä on käytetty Maanmittauslaitoksen ja Ilmatieteen laitoksen avoimien aineistojen käyttöluvien alaista materiaalia, jotka on lisensoitu Creative Commons Nimeä 4.0 Kansainvälinen -lisenssillä: <http://creativecommons.org/licenses/by/4.0/deed.fi>.

YHTEYSTIEDOT

Hankkeesta vastaava:

Semecon Oy

Olli Malkamäki

olli.malkamaki@semecon.fi

Tekijä:

AFRY Finland Oy

Juulianna Lähteinen

juulianna.lahteinen@afry.com

Renewables & Energy Storage Development, Finland

www.afry.com

Raportin tiedot:

Projektinumero: 101035317-001

Raporttiversio: 001

Raportin tila: VALMIS

Raporttihistoria:

Versio	Pvm/Laatija	Pvm/Tarkastaja	Merkinnät/Muutokset
001	23.03.2026/ Juulianna Lähteinen, Technical Consultant	23.03.2026/ Erkki Heikkola, Senior Consultant	Alkuperäinen

SISÄLLYS

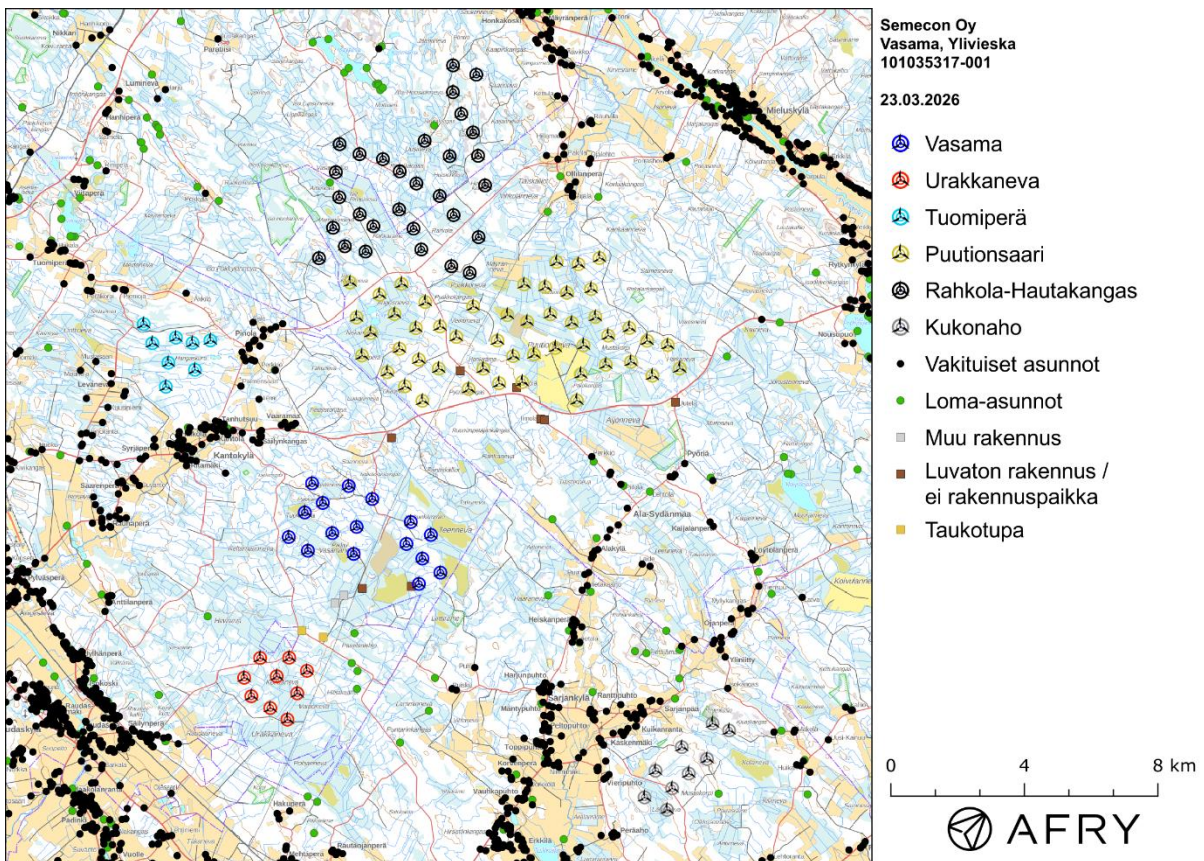
1	JOHDANTO	5
2	TUULIVOIMALOIDEN VÄLKE	9
2.1	Välkevaikutus	9
2.2	Välkkeen rajoittaminen	9
2.3	Arvioinnin epävarmuudet	9
2.4	Ohjeavot	10
3	TUULIVOIMAKOHTTEEN VÄLKEMALLINNUS	11
3.1	Mallinnusmenetelmä ja lähtöaineisto	11
3.2	Todennäköinen välkevaikutus	15
3.3	Teoreettinen välkevaikutus	17
3.4	Yhteenveto	18
4	VÄLKEVAIKUTUKSEN LASKENTAMENETELMÄ	19
5	VIITTEET	21

1 JOHDANTO

Selvityksessä arvioidaan Ylivieskan kaupungin alueelle suunnitellun Vasaman tuulivoimapuiston sekä läheisten suunnitteilla olevien tuulivoimapuistojen aiheuttamaa välkkeen yhteisvaikutusta laskennallisten mallien avulla. Vasaman tuulivoimapuistoon on suunnitteilla 16 voimalaa. Vasaman tuulivoimapuiston läheisyydessä on viisi tuulivoimapuistoa, jotka huomioidaan selvityksen mallinuksissa (Taulukko 1-1). Vasaman sekä naapuripuistojen voimaloiden sijainnit on esitetty kuvassa (Kuva 1-1) ja koordinaatit annettu taulukoissa (Taulukko 1-2-Taulukko 1-7).

Taulukko 1-1: Mallinuksissa huomioitavat naapuripuistot, voimaloiden lukumäärä ja etäisyys Vasaman voimaloihin.

Tuulivoimapuisto	Voimaloiden lukumäärä	Etäisyys Vasaman voimaloihin
Urakkaneva	9 kpl	3,2 km
Puutionsaari	49 kpl	3,3 km
Tuomiperä	8 kpl	4,8 km
Rahkola-Hautakangas	30 kpl	6,7 km
Kukonaho	9 kpl	8,7 km



Kuva 1-1: Vasaman sekä läheisten tuulivoimapuistojen voimaloiden sijainnit.

Taulukko 1-2: Vasaman tuulivoimaloiden (16 kpl) sijaintikoordinaatit ETRS-TM35FIN-koordinaatistossa ja maaston korkeus tuulivoimalan paikalla.

Tuulivoimalat	E	N	Maaston korkeus [m]
V2	401612	7103658	108
V3	400968	7103321	104
V4	399571	7105860	106
V5	400594	7104517	103
V6	400725	7105172	106
V7	401328	7104787	106
V8	401073	7104079	103
V9	399017	7104218	100
V10	397644	7104314	99
V11	398374	7104841	100
V12	397070	7104723	99
V14	398090	7105743	100
V15	397552	7105457	100
V16	399104	7105025	103
V17	398868	7106249	102
V18	397770	7106329	99

Taulukko 1-3: Urakkanevan tuulivoimaloiden (9 kpl) sijaintikoordinaatit ETRS-TM35FIN-koordinaatistossa ja maaston korkeus tuulivoimalan paikalla.

Tuulivoimalat	E	N	Maaston korkeus [m]
U1	396215	7101106	94
U2	397084	7101115	95
U3	397615	7100722	98
U4	396710	7100559	96
U5	397325	7100050	96
U6	395735	7100516	94
U7	395951	7099963	95
U8	396518	7099610	96
U9	397030	7099264	96

Taulukko 1-4: Puutionsaaren tuulivoimaloiden (49 kpl) sijaintikoordinaatit ETRS-TM35FIN-koordinaatissa ja maaston korkeus tuulivoimalan paikalla.

Tuulivoimalat	E	N	Maaston korkeus [m]	Tuulivoimalat	E	N	Maaston korkeus [m]
P1	398908	7112332	92	P26	404210	7111160	106
P2	399103	7111287	96	P27	404748	7112199	106
P3	399790	7111967	97	P28	405093	7112944	101
P4	399264	7110149	96	P29	404064	7109355	110
P5	399528	7110822	96	P30	404416	7110183	105
P6	400240	7111388	96	P31	404904	7111380	105
P7	400450	7112290	96	P32	405401	7112023	102
P8	400024	7109648	100	P33	405747	7112878	101
P9	400386	7110351	99	P34	405056	7110378	105
P10	400878	7110968	98	P35	405545	7111129	104
P11	401161	7111748	99	P36	406124	7112136	103
P12	400550	7109228	102	P37	406379	7113064	106
P13	400967	7110026	102	P38	405698	7108804	111
P14	401603	7111018	105	P39	405817	7109588	108
P15	401075	7108794	107	P40	405898	7110453	105
P16	401564	7109757	104	P41	406256	7111300	104
P17	402089	7110703	107	P42	406567	7109874	106
P18	402594	7111615	107	P43	406639	7110744	105
P19	402458	7109150	113	P44	407320	7109959	109
P20	402896	7109754	109	P45	407270	7110972	113
P21	403323	7110596	109	P46	407960	7109544	113
P22	403620	7111358	106	P47	407802	7110590	116
P23	404122	7112277	104	P48	408421	7110461	119
P24	403371	7109318	115	P49	408782	7109763	117
P25	403790	7110131	108				

Taulukko 1-5: Tuomiperän tuulivoimaloiden (8 kpl) sijaintikoordinaatit ETRS-TM35FIN-koordinaatissa ja maaston korkeus tuulivoimalan paikalla.

Tuulivoimalat	E	N	Maaston korkeus [m]
TP1	392725	7111087	82
TP2	392985	7110516	84
TP3	393465	7109933	84
TP4	393390	7109214	84
TP5	394261	7109723	88
TP6	393691	7110683	85
TP7	394190	7110524	89
TP8	394725	7110600	90

Taulukko 1-6: Rahkola-Hautakankaan tuulivoimaloiden (30 kpl) sijaintikoordinaatit ETRS-TM35FIN-koordinaatistossa ja maaston korkeus tuulivoimalan paikalla.

Tuulivoimalat	E	N	Maaston korkeus [m]	Tuulivoimalat	E	N	Maaston korkeus [m]
RH1	402741	7116120	110	RH16	402591	7116820	107
RH2	401941	7112820	110	RH17	399371	7113258	92
RH3	401991	7118824	94	RH18	401591	7114920	105
RH4	399197	7114370	97	RH19	399191	7116170	98
RH5	400894	7115292	104	RH20	401141	7116570	99
RH6	402756	7113689	106	RH21	397977	7113060	92
RH7	401987	7118024	99	RH22	402007	7114347	106
RH8	398594	7116469	95	RH23	398482	7115631	95
RH9	399605	7114014	99	RH24	402238	7117375	103
RH10	402491	7112620	107	RH25	400807	7113943	103
RH11	402688	7118547	97	RH26	401890	7116109	104
RH12	402950	7115236	107	RH27	398583	7114882	94
RH13	399891	7116020	98	RH28	400395	7115655	103
RH14	401041	7113320	104	RH29	400376	7114517	102
RH15	398397	7113970	86	RH30	398751	7113416	89

Taulukko 1-7: Kukonahon tuulivoimaloiden (9 kpl) sijaintikoordinaatit ETRS-TM35FIN-koordinaatistossa ja maaston korkeus tuulivoimalan paikalla.

Tuulivoimalat	E	N	Maaston korkeus [m]
K1	409764	7099146	120
K2	410261	7098938	122
K3	408842	7098441	115
K4	409598	7098085	121
K5	409051	7097651	117
K6	408055	7097734	110
K7	408553	7097208	116
K8	408400	7096566	109
K9	407727	7096938	110

2 TUULIVOIMALOIDEN VÄLKE

2.1 Välkevaikutus

Välkevaikutuksella tarkoitetaan tilannetta, jossa Auringon paisteen ja tarkastelupisteen väliin jäävän voimalan lavat aiheuttavat välkkyvän varjon. Välke voi ulottua pisimmillään 1–3 km etäisyydelle voimalasta. Välkevaikutuksen etäisyyteen ja kestoon vaikuttavat tuulivoimalan korkeus ja roottorin halkaisija, vuoden- ja vuorokaudenaika, maaston muodot sekä näkyvyyttä rajoittavat tekijät kuten kasvillisuus ja pilvisuus.

Suomen sijainnin vuoksi yksittäisen tuulivoimalan välkevaikutus kohdistuu valtaosin voimalan pohjoispuolelle (päiväaika) sekä lounais- ja kaakkoispuolille (aamu- ja ilta-ajat). Suomessa voimala aiheuttaa välkevaikutusta eteläpuolelleen vain pohjoisen napapiirin pohjoispuolella.

Välkevaikutuksen laskenta voi perustua joko teoreettisen maksimivälkkeen tai todennäköisen tilanteen mallinnukseen:

- Teoreettisen maksimivälkkeen laskennassa oletetaan, että päiväaikaan Aurinko paistaa jatkuvasti, tuulivoimalan roottori pyörii jatkuvasti, ja roottori on aina kohtisuorassa Aurinkoa kohden.
- Todennäköisen tilanteen mallinnuksessa otetaan huomioon paikallinen tilastollinen aineisto auringonpaisteen määrästä ja ajoittumisesta sekä tuulen suuntien ja nopeuksien jakautumisesta.

Tämän selvityksen välkelaskenta on tehty mallintamalla sekä todennäköinen välkeaika että teoreettinen maksimivälke.

2.2 Välkkeen rajoittaminen

Välkevaikutusta voidaan vähentää voimalakohtaisella välkkeen hallintatyökalulla (shadow flicker protection system), joka sisältää valoanturin ja välkkeenhallintasovelluksen. Työkalun avulla voimala voidaan pysäyttää joko havaitun auringonpaisteen perusteella ja/tai haluttuina vuoden- ja kellonaikoina. Pysäytetty voimala ei aiheuta välkettä.

2.3 Arvioinnin epävarmuudet

Mallinnettu todennäköinen välkevaikutus perustuu auringonpaisteen ja tuulisuuden tilastolliseen aineistoon. Yksittäisen vuoden sääolosuhteet saattavat poiketa merkittävästi keskimääräisistä olosuhteista, jolloin vuotuinen välkevaikutus voi poiketa mallinnetusta arvosta. Auringonpaisteen aineisto on saatu Oulun sääasemalta, josta etäisyys hankealueeseen on noin 100 km.

Mallinnuksessa ei ole huomioitu paikallisen puuston vaikutusta voimaloiden näkyvyyteen ja välkevaikutukseen. Puusto voi rajoittaa merkittävästi näkyvyyttä turbiineille ja vähentää vuotuista välkevaikutusta. Puuston näkyvyyttä peittävä vaikutus vaihtelee kuitenkin vuosien ja vuodenaikojen suhteen, minkä vuoksi puuston välkettä vähentävää vaikutusta ei pystytä arvioimaan tarkasti.

Rakennuksiin kohdistuvan välkkeen laskennassa käytetään ns. kasvihuone-oletusta, jolloin rakennukseen kohdistuva välkevaikutus huomioidaan riippumatta suunnasta. Välkevaikutuksen laskennallinen arvio kuvaa siis välkevaikutusta ulkona. Rakennusten sisätiloissa välkevaikutus on yleensä vähäisempi, koska välkevaikutus kohdistuu rakennuksen sisätiloihin vain ikkunoiden suunnasta.

2.4 Ohjearvot

Tuulivoimaloiden välkevaikutukselle ei ole Suomessa määritelty ohjearvoja. Ympäristöministeriön ohjeissa tuulivoimapuiston suunnitteluun suositellaan käytettäväksi muiden maiden suosituksia välkemäärien osalta [4]. Tässä selvityksessä mallinnettuja välkeajoja verrataan vaikiintuneen käytännön mukaan Ruotsin, Tanskan ja Saksan ohjearvoihin. Välkkeen ohjearvoja sovelletaan asutuksen kohdalla, eikä esimerkiksi eläimiin tai luontoon kohdistuvasta välkevaikutuksesta ole ohjearvoja tai arviointikriteerejä.

Tanskassa on määritetty todennäköisen vuotuisen välketuntimäärän suositusarvoksi 10 tuntia. Ruotsissa vastaava todennäköisen välkkeen suositusarvo on 8 tuntia vuodessa ja korkeintaan 30 minuuttia päivässä [2]. Saksassa teoreettisen maksimivälkkeen raja-arvot ovat korkeintaan 30 tuntia vuodessa ja 30 minuuttia päivässä. Saksassa todellinen vuotuinen välkevaikutus ohjeistetaan rajoittamaan 8 tuntiin, jos voimalaan asennetaan välkkeen hallintatyökalu.

3 TUULIVOIMAKOHTTEEN VÄLKEMALLINNUS

3.1 Mallinnusmenetelmä ja lähtöaineisto

Tuulivoimaloiden aiheuttama välkevaikutus (shadow flicker) arvioitiin AFRY Numerola -mallinnusohjelmistolla, joka huomioi auringon paikan vuoden eri aikoina, tuulivoima-alueen ja sen ympäristön maastonmuodot sekä tuulivoimaloiden dimensiot. Laskennan tuloksena saadaan tietoa siitä, kuinka monta tuntia vuodessa alueen eri kohteet ovat välkevaikutuksen alaisena. Tulosta havainnollistetaan tasa-arvokäyrästä, jonka perusteella voidaan arvioida varjostusvaikutusta tarkastelualueella.

Tarkastelualueiden maanpinnan korkeuserot on saatu Maanmittauslaitoksen aineistosta *Korkeusmalli 10 m*. Korkeusdatan vaakaresoluutio on 10 m ja pystysuorainen tarkkuus 1,4 m. Laskennassa huomioitiin korkeuserot siten, että jos Auringon, tuulivoimalan ja tarkastelupisteen kautta kulkeva jana leikkaa maanpintaa, niin varjostusta ei esiinny. Välkevaikutus laskettiin 2 m korkeudelle. Auringonpaistekulman rajana horisontista käytettiin kolmea astetta, jonka alle menevää säteilyä ei oteta huomioon varjostuksessa.

Tuulivoimalan lapojen aiheuttama varjo heikkenee asteittain liikuttaessa etäämmälle tuulivoimalasta, eikä tietyn etäisyyden jälkeen varjo ole enää ihmissilmin havaittavissa. Tämä etäisyys riippuu tuulivoimalan lavan leveydestä, ja esimerkiksi Ruotsin tuulivoimarakentamisen suunnitteluohjeistuksessa määritellään, että välkevaikutus huomioidaan mikäli lapa peittää vähintään 20 % Auringosta. Käytännössä tämä asettaa lavan leveydestä riippuvan maksimietäisyyden yksittäisen tuulivoimalan aiheuttamalle välkevaikutukselle, eikä sen ulkopuolella välkevaikutusta ole.

Yleensä väkelaskennan maksimietäisyyden laskenta perustuu lavan keskimääräiseen leveyteen, joka määrää maksimietäisyyden. Käytännössä tuulivoimalan lapa ei ole vakiolevyinen: Levein kohta sijaitsee lähellä tuulivoimalan napaa, ja lapa kapenee huomattavasti kärkeä kohti liikuttaessa. Tällä perusteella lavan tyven välkevaikutus ulottuu huomattavasti pidemmälle kuin lavan kärjen, mikäli arviointiperusteena käytetään Auringon peittoastetta. Tässä selvityksessä väkelaskennassa ei ole käytetty tavanomaista maksimietäisyyttä, vaan on huomioitu tuulivoimalan muuttuva lapaprofiili.

Väkelaskennassa Vasaman voimaloille on käytetty napakorkeutta 214 m ja roottorin halkaisijaa 172 m. Voimaloiden lapaprofiili on arvioitu voimalatyypin V162 valmistajan ilmoittamalla lavan profiilitiedolla, joka on skaalattu lavan pituuden ja leveyden suhteen vastaamaan 172 metrin roottorin halkaisijaa. Lavan levein kohta on 4,4 m.

Väkelaskennassa Urakkanevan voimaloille on käytetty napakorkeutta 169 m ja roottorin halkaisijaa 162 m. Voimaloiden lapaprofiilina on käytetty voimalatyypin Vestas V162 valmistajan ilmoittamaa tarkkaa lavan profiilitietoa, jonka levein kohta on 4,3 m. Puutionsaaren voimaloiden napakorkeutena on käytetty 169 m ja roottorin halkaisijaa 175 m. Voimaloiden lapaprofiilina on käytetty voimalatyypin Nordex N175 valmistajan ilmoittamaa tarkkaa lavan profiilitietoa, jonka levein kohta on 4,3 m. Rahkola-Hautakankaan voimaloiden napakorkeutena on käytetty 215 m ja roottorin halkaisijaa 170 m. Voimaloiden lapaprofiilina on käytetty voimalatyypin Siemens Gamesa SG170 valmistajan ilmoittamaan tarkkaa lavan profiilitietoa, jonka levein kohta on 4,5 m.

Väkelaskennassa Tuomiperän voimaloille on käytetty napakorkeutta 145 m, roottorin halkaisijaa 190 m ja lapaprofiilia, jonka levein kohta on 4,4 m. Kukonahon voimaloille on käytetty

napakorkeutta 122,5 m, roottorin halkaisijaa 175 m ja lapaprofiilia, jonka levein kohta on 4,2 m. Edellä mainittujen voimaloiden lapaprofiileja on arvioitu voimalavalmistajien ilmoittamien tietojen perusteella. Välkemallinnuksessa käytetyt voimalatiedot on koottu taulukkoon (Taulukko 3-1). Laskentamenetelmän yksityiskohdat on kuvattu luvussa 4.

Taulukko 3-1: Mallinuksissa tuulivoimaloille käytetyt voimalamitat.

Tuulivoimapuisto	Voimaloiden lukumäärä	Napakorkeus	Roottorin halkaisija	Kokonaiskorkeus
Vasama	16 kpl	214 m	172 m	300 m
Urakkaneva	9 kpl	169 m	162 m	250 m
Puutionsaari	49 kpl	169 m	175 m	256,5 m
Tuomiperä	8 kpl	145 m	190 m	240 m
Rahkola-Hautakangas	30 kpl	215 m	170 m	300 m
Kukonaho	9 kpl	122,5 m	175 m	210 m

Todelliseen välkevaikutukseen vaikuttavat tuulivoimaloiden käyttöaste, puusto ja paikallinen säätila (pilvisuus ja tuulisuus). Jos esimerkiksi tuulen suunta on kohtisuorassa auringon ja tarkastelupisteen välistä linjaa vasten, ei varjostusvaikutusta esiinny. Varjostuksen laskennassa tuulivoimalan orientaatio voidaan määrittää, jolloin roottori oletetaan tiettyyn suuntaan asetetuksi ympyrätasoksi. Todennäköisen välkevaikutuksen laskenta on suoritettu kuudella eri tuulivoimalan orientaatiolla. Tämä vastaa 12 tuulen suuntasektorin varjostustuloksia, sillä vastakkaiset tuulensuunnat aiheuttavat välkkeen kannalta efektiivisesti saman roottorin orientaation. Kullakin tuulen suunnalla laskettua välketuntimäärää on skaalattu Suomen tuuliatlaksesta [1] saatavan suuntasektorin esiintymisfrekvenssillä ja suuntakohtaisesta nopeusjakaumasta määritellyn tuulivoimalan käyntinopeuksien ajallisella osuudella. Käynnistysnopeutta alemmissa tai pysäytysnopeutta korkeammassa tuulissa tuulivoimalat ovat paikallaan, jolloin roottorin pyörimisestä aiheutuvaa valon välkkymistä ei esiinny. Suomen tuuliatlaksen tuulisuusestimaatti on otettu Vasaman tuulivoima-alueen keskeltä korkeudelta 200 m, ja sen perusteella lasketut suuntasektorikohtaiset osuudet tuulivoimalan käyntinopeusvälille osuville tuulille on lueteltu taulukossa (Taulukko 3-2).

Paikallinen pilvisuus on huomioitu skaalaamalla eri roottoriorientaatioilla laskettuja varjostusaikoja Oulun sääasemalta mitattujen auringonpaistetuntien suhteellisella osuudella teoreettisesta maksimipaistetuntien määrästä [3]. Sääaseman mittausten perusteella lasketut kuukausittaiset auringonpaisteen todennäköisyydet on koottuna taulukkoon (Taulukko 3-3). Suunta-kohtaisesti skaalatut välketuntimäärät yhteen laskien saadaan arvio todellisesta, säätilan huomioonottavasta välketuntimäärästä tarkastelualueella.

Taulukko 3-2: Suuntasektorikohtaiset osuudet yli 3 m/s tuulennopeuksille Suomen tuuliatlaksen perusteella.

Suuntasektori	0/180	30/210	60/240	90/270	120/300	150/330
Yli 3 m/s osuus	0,163	0,179	0,158	0,133	0,134	0,159

Taulukko 3-3: Auringonpaisteen kuukausittaiset todennäköisyydet Oulun sääasemalla.

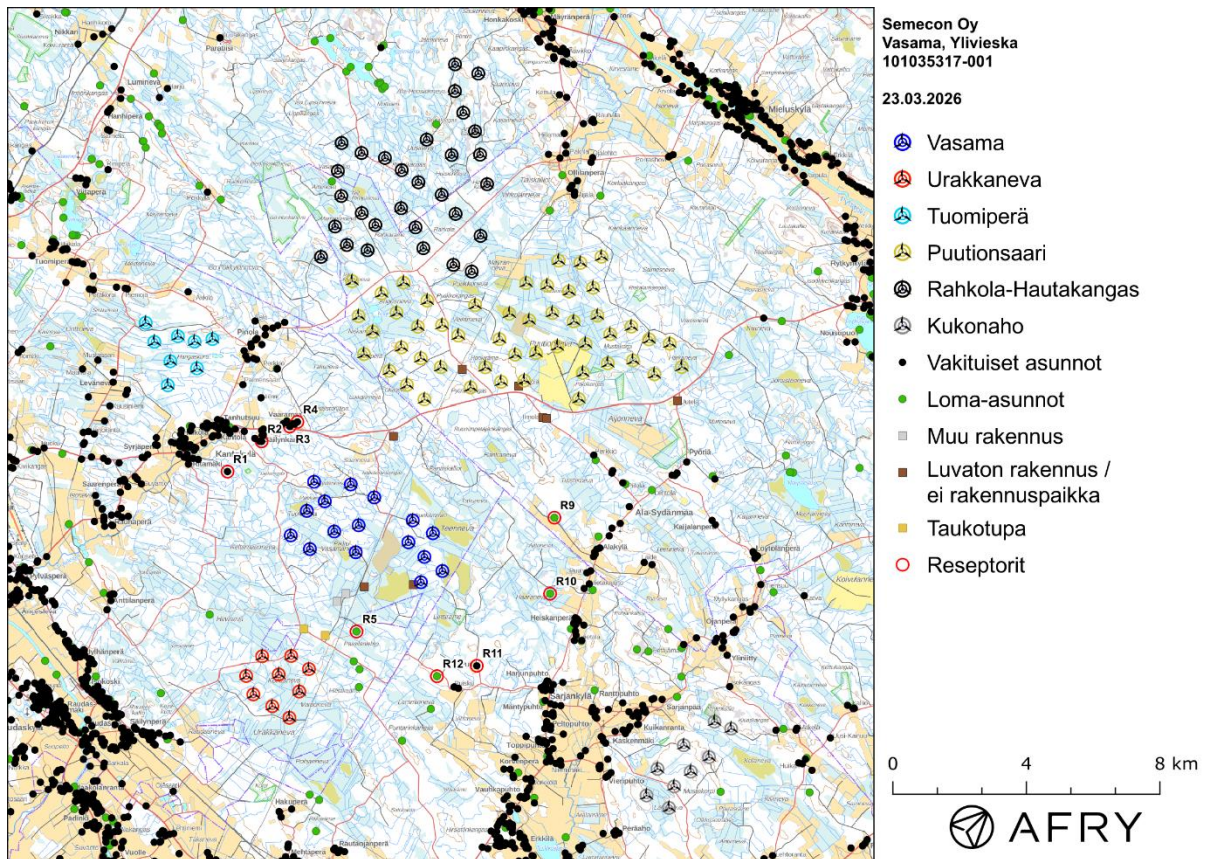
Kuukausi	Auringonpaisteen todennäköisyys
Tammikuu	0,152
Helmikuu	0,289
Maaliskuu	0,377
Huhtikuu	0,455
Toukokuu	0,469
Kesäkuu	0,451
Heinäkuu	0,452
Elokuu	0,413
Syyskuu	0,340
Lokakuu	0,229
Marraskuu	0,151
Joulukuu	0,070

Taulukossa (Taulukko 3-4) on määritelty tuulivoimaloiden ympäristöstä yhdeksän pistettä, joiden kohdilla välkevaikutuksia tarkastellaan tarkemmin. Pisteet on valittu asuntojen kohdilta, joihin kohdistuu suurin välkevaikutus. Näitä pisteitä kutsutaan reseptoreiksi, ja niiden paikat suhteessa tuulivoimaloihin on esitetty karttapohjalla (Kuva 3-1). Reseptorit sijaitsevat lähimmillään noin 1,8 km etäisyydellä Vasaman voimaloista.

Maanmittauslaitoksen maastotietokannan aineiston mukaan Vasaman hankealueen eteläpuolella sijaitsee kaksi lomarakennusta. Kyseisten rakennusten käyttötarkoitus on hankekehittäjältä tulleen tiedon mukaan muutettu muuksi rakennukseksi. Rakennusten sijainnit on merkitty karttakuviin harmaalla. MML:n maastotietokannassa on merkittynä loma- ja asuinrakennus kiinteistölle 977-405-11-132 sekä lomarakennus kiinteistölle 977-405-11-154. Nämä ovat hankekehittäjältä saadun tiedon mukaan todellisuudessa taukotupia tai kämppiä ja ne on merkitty karttakuviin keltaisella. MML:n maastotietokannan aineisto sisältää lisäksi kahdeksan rakennusta, jotka ovat hankekehittäjältä tulleen tiedon mukaan luvattomia tai niissä ei ole rakennuspaikkaa. Nämä on merkitty karttakuviin ruskealla. Välkkeen ohje- ja raja-arvot koskevat pelkästään asuin- ja lomarakennuksia, minkä vuoksi edellä mainittuja rakennuksia ei huomioida tämän selvityksen väkietarkasteluissa.

Taulukko 3-4: Reseptorien koordinaatit ETRS-TM35FIN-koordinaatistossa.

Reseptori	E	N	Maaston korkeus [m]	Rakennusluokitus
R1	395179	7106629	87	vakituinen asuinrakennus
R2	396200	7107533	88	vakituinen asuinrakennus
R3	397044	7107977	88	vakituinen asuinrakennus
R4	397272	7108116	89	vakituinen asuinrakennus
R5	399043	7101843	101	lomarakennus
R9	404970	7105250	113	lomarakennus
R10	404841	7102975	113	lomarakennus
R11	402645	7100816	114	vakituinen asuinrakennus
R12	401452	7100505	113	lomarakennus

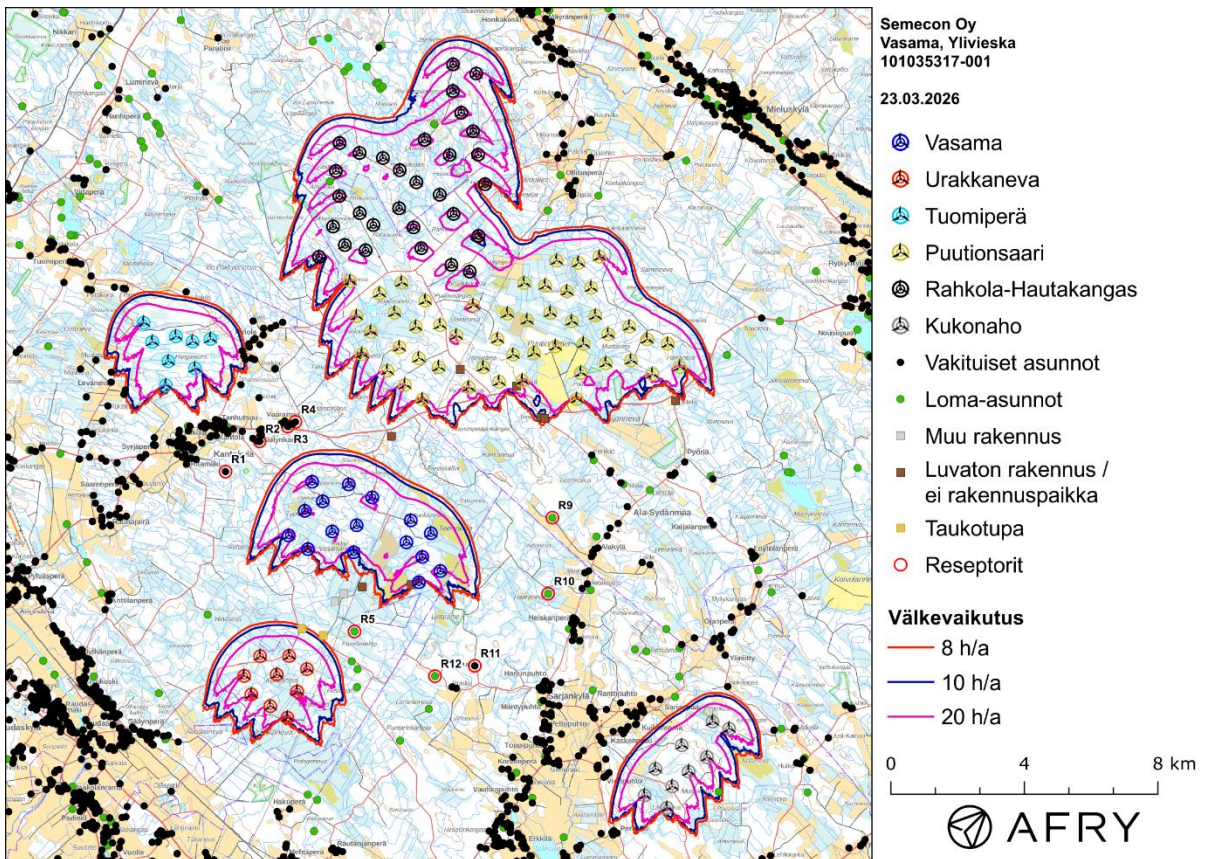

Kuva 3-1: Reseptoreiden paikat suhteessa tuulivoimapuistoihin.

3.2 Todennäköinen välkevaikutus

Mallinnetut arviot todennäköisten välketuntien vuotuisesta määrästä on esitetty karttakuvana (Kuva 3-2). Mallinnuksessa ei ole huomioitu paikallisen puuston vaikutusta tuulivoimaloiden näkyvyyteen ja välkevaikutukseen. Karttoihin on merkitty ympäristössä sijaitsevat loma- ja asuinrakennukset käyttäen lähtötietona Maanmittauslaitoksen maastotietokannan sisältämiä tietoja. Tämän lisäksi karttaan on merkitty rakennukset, joiden käyttötarkoitus on muutettu (harmaa), luvattomat rakennukset/ei rakennuspaikkaa (ruskea) ja taukotuvat (keltainen). Tieto edellä mainituista rakennuksista on saatu hankekehittäjältä.

Mallinnusten perusteella vuotuinen todennäköinen välkevaikutus jää alle Ruotsin 8 tunnin ohjearvon kaikkien lähialueen asuin- ja lomarakennusten kohdalla. Myös päiväkohtainen todennäköinen välkeaika alittaa Ruotsin 30 minuutin ohjearvon kaikkien alueen asuntojen kohdalla. Vuotuiset todennäköiset välkevaikutusajat ja suurimmat päiväkohtaiset maksimivälkkeet reseptorien kohdalla on lueteltu taulukossa (Taulukko 3-5).

Todennäköisen välkkeen tarkempi ajoittuminen reseptorin R5 kohdalla on esitetty taulukossa (Taulukko 3-6). Taulukossa esitetyt kellonajat ovat aikavyöhykkeen UTC+2 mukaisia (Suomen talviaika).



Kuva 3-2: Tuulivoimaloiden aiheuttama todennäköisen välkkeen määrä ilman puuston vaikutusta, kun mallinnoissa huomioidaan Vasaman sekä läheisten tuulivoimapuistojen voimalat.

Taulukko 3-5: Todennäköinen välkevaikutus tunteina ja minuutteina [h:min] reseptoreiden kohdalla.

Reseptori	Todennäköinen vuotuinen välkeaika	Todennäköisen välkkeen päiväkohtainen maksimi
R1	0:00	0:00
R2	0:31	0:02
R3	0:45	0:03
R4	0:40	0:02
R5	1:29	0:03
R9	0:00	0:00
R10	0:00	0:00
R11	0:00	0:00
R12	0:00	0:00

Taulukko 3-6: Todennäköisen välkevaikutuksen ajoittuminen ja kesto tunteina ja minuutteina [h:min] reseptorin R5 kohdalla.

Kellonaika	0-2	2-4	4-6	6-8	8-10	10-12	12-14	14-16	16-18	18-20	20-22	22-24	
Tammikuu	0:00	0:00	0:00	0:00	0:00	0:00	0:00	0:00	0:00	0:00	0:00	0:00	0:00
Helmikuu	0:00	0:00	0:00	0:00	0:00	0:00	0:00	0:13	0:10	0:00	0:00	0:00	0:23
Maaliskuu	0:00	0:00	0:00	0:00	0:00	0:00	0:00	0:00	0:11	0:00	0:00	0:00	0:11
Huhtikuu	0:00	0:00	0:00	0:00	0:00	0:00	0:00	0:00	0:00	0:00	0:00	0:00	0:00
Toukokuu	0:00	0:06	0:10	0:00	0:00	0:00	0:00	0:00	0:00	0:00	0:00	0:00	0:16
Kesäkuu	0:00	0:00	0:00	0:00	0:00	0:00	0:00	0:00	0:00	0:00	0:00	0:00	0:00
Heinäkuu	0:00	0:00	0:15	0:00	0:00	0:00	0:00	0:00	0:00	0:00	0:00	0:00	0:15
Elokuu	0:00	0:00	0:00	0:00	0:00	0:00	0:00	0:00	0:00	0:00	0:00	0:00	0:00
Syyskuu	0:00	0:00	0:00	0:00	0:00	0:00	0:00	0:00	0:00	0:00	0:00	0:00	0:00
Lokakuu	0:00	0:00	0:00	0:00	0:00	0:00	0:00	0:15	0:07	0:00	0:00	0:00	0:22
Marraskuu	0:00	0:00	0:00	0:00	0:00	0:00	0:00	0:02	0:00	0:00	0:00	0:00	0:02
Joulukuu	0:00	0:00	0:00	0:00	0:00	0:00	0:00	0:00	0:00	0:00	0:00	0:00	0:00
Yhteensä	0:00	0:06	0:25	0:00	0:00	0:00	0:00	0:30	0:29	0:00	0:00	0:00	1:29

3.3 Teoreettinen välkevaikutus

Teoreettisen maksimivälkkeen vuotuiset ja suurimmat päiväkohtaiset välkevaikutusajat reseptoreiden kohdilla on lueteltu taulukossa (Taulukko 3-7). Mallinnusten perusteella teoreettinen vuotuinen ja päiväkohtainen maksimivälke aika pysyy alle raja-arvojen kaikkien rakennusten kohdalla, kun välkeajoja verrataan Saksan raja-arvoihin.

Teoreettisen maksimivälkkeen ajoittuminen reseptorin R5 kohdalla on esitetty taulukossa (Taulukko 3-8). Taulukossa esitetyt kellonajat ovat aikavyöhykkeen UTC+2 mukaisia (Suomen talviaika).

Taulukko 3-7: Teoreettinen välkevaikutus tunteina ja minuutteina [h:min] reseptoreiden kohdilla.

Reseptori	Teoreettinen vuotuinen välke aika	Teoreettisen välkkeen päiväkohtainen maksimi
R1	0:00	0:00
R2	3:31	0:13
R3	6:08	0:18
R4	5:54	0:15
R5	8:07	0:14
R9	0:00	0:00
R10	0:00	0:00
R11	0:00	0:00
R12	0:00	0:00

Taulukko 3-8: Teoreettisen maksimivälkkeen ajoittuminen ja kesto tunteina ja minuutteina [h:min] reseptorin R5 kohdalla.

Kellonaika	0-2	2-4	4-6	6-8	8-10	10-12	12-14	14-16	16-18	18-20	20-22	22-24	
Tammikuu	0:00	0:00	0:00	0:00	0:00	0:00	0:00	0:00	0:00	0:00	0:00	0:00	0:00
Helmikuu	0:00	0:00	0:00	0:00	0:00	0:00	0:00	1:17	0:59	0:00	0:00	0:00	2:16
Maaliskuu	0:00	0:00	0:00	0:00	0:00	0:00	0:00	0:00	0:52	0:00	0:00	0:00	0:52
Huhtikuu	0:00	0:00	0:00	0:00	0:00	0:00	0:00	0:00	0:00	0:00	0:00	0:00	0:00
Toukokuu	0:00	0:22	0:33	0:00	0:00	0:00	0:00	0:00	0:00	0:00	0:00	0:00	0:55
Kesäkuu	0:00	0:00	0:00	0:00	0:00	0:00	0:00	0:00	0:00	0:00	0:00	0:00	0:00
Heinäkuu	0:00	0:00	0:55	0:00	0:00	0:00	0:00	0:00	0:00	0:00	0:00	0:00	0:55
Elokuu	0:00	0:00	0:00	0:00	0:00	0:00	0:00	0:00	0:00	0:00	0:00	0:00	0:00
Syyskuu	0:00	0:00	0:00	0:00	0:00	0:00	0:00	0:00	0:00	0:00	0:00	0:00	0:00
Lokakuu	0:00	0:00	0:00	0:00	0:00	0:00	0:00	1:54	0:52	0:00	0:00	0:00	2:46
Marraskuu	0:00	0:00	0:00	0:00	0:00	0:00	0:00	0:22	0:00	0:00	0:00	0:00	0:22
Joulukuu	0:00	0:00	0:00	0:00	0:00	0:00	0:00	0:00	0:00	0:00	0:00	0:00	0:00
Yhteensä	0:00	0:22	1:28	0:00	0:00	0:00	0:00	3:33	2:43	0:00	0:00	0:00	8:07

3.4 Yhteenveto

Raportissa on esitetty Ylivieskan kaupungin alueelle suunnitellun Vasaman tuulivoimapuiston sekä läheisten suunnitteilla olevien tuulivoimapuistojen ympäristölleen aiheuttaman väkkeen yhteisvaikutusten laskennallinen arvio. Mallinuksissa huomioitiin Vasaman tuulivoimapuiston lisäksi viisi naapuripuistoa: Urakkaneva, Tuomiperä, Puutionsaari, Rahkola-Hautakangas sekä Kukonaho.

Yhteisvaikutusten välkevarjostusmallinnuksen mukaan vuotuinen todennäköinen välkevaikutus jää alle Ruotsin 8 tunnin ohjearvon kaikkien asuin- ja lomarakennusten kohdilla. Myös todennäköinen päiväkohtainen välkeaika alittaa Ruotsin 30 minuutin ohjearvon kaikkien asuin- ja lomarakennusten kohdilla. Teoreettinen vuotuinen maksimivälke jää alle Saksan 30 tunnin raja-arvon kaikkien asuin- ja lomarakennusten kohdilla. Myös teoreettinen päiväkohtainen maksimi alittaa Saksan 30 minuutin päiväkohtaisen raja-arvon.

Vasaman ja läheisten tuulivoimapuistojen väkkeen yhteisvaikutukset ovat vähäisiä. Yhteisvaikutuksista ei aiheudu väkkeen ohjearvojen ylityksiä.

4 VÄLKEVAIKUTUKSEN LASKENTAMENETELMÄ

Välkevaikutuksen laskennassa hyödynnetään taivaanpallon käsitettä, joka on maapallon maantieteellistä koordinaatistoa vastaava kuvitteellinen kuori katsottaessa maapallolta taivaalle. Samalla tavoin kuin paikan sijainti maapallolla voidaan ilmoittaa pituus- ja leveyspiirien avulla, voidaan taivaankappaleiden paikat taivaanpallolla ilmoittaa kahden koordinaatin (rektaskensio ja deklinaatio) avulla. Aurinko kulkee vuoden aikana taivaanpallolla kääntöpiirien väliin asettuvalla nauhalla, ja Auringon esiintymistiheys kyseisellä nauhalla voidaan esittää tiheysfunktiona.

Tiettyyn pisteeseen kohdistuvaa vuotuista välkevaikutusta laskettaessa tarkastellaan sitä osaa taivaanpallosta, joka näkyy pisteeseen tuulivoimaloiden roottorikehien läpi. Näkyvyyden arvioinnissa otetaan huomioon paikallinen maaston korkeusaineisto. Mikäli kääntöpiirien väliin asettava nauha ei näy roottorikehien läpi, tarkastelupisteeseen ei kohdistu välkevaikutusta. Muussa tapauksessa yksittäisen tuulivoimalan aiheuttamien väkjetuntien määrä saadaan integroimalla tiheysfunktioita tuulivoimalan roottorikehän läpinäkyvällä taivaanpallon osuudella. Tuulivoimaloiden yhteisvaikutus saadaan summaamalla tuulivoimalakohtaiset väkjetunnit ottaen kuitenkin huomioon mahdolliset päällekkäisyydet roottorikehien peittämissä alueissa. Laskenta suoritetaan erikseen tuulivoimaloiden eri orientaatioille, joita skaalataan suuntakohtaisilla tuulusuusuksilla.

Huomioitaessa kuukausittaista (tai muuta lyhytaikaista) vaihtelua auringonpaisteen todennäköisyydessä, taivaanpallon nauha jaetaan vastaaviin osiin Auringon deklinaation mukaan. Tiheysfunktio määritellään näissä osissa erikseen, ja integroinnin tuloksia skaalataan kuukausikohtaisilla todennäköisyyksillä.

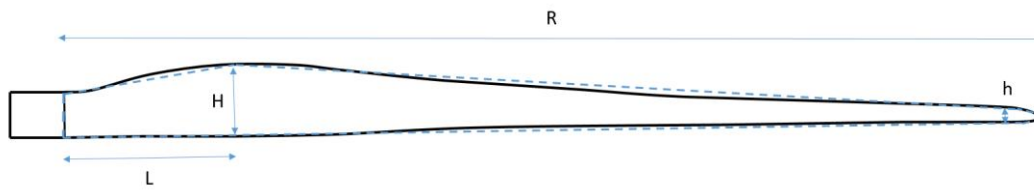
Tuulivoimalan lapojen aiheuttama varjo heikkenee asteittain liikuttaessa etäämmälle tuulivoimalasta, eikä tietyn etäisyyden jälkeen varjo ole enää ihmissilmin havaittavissa. Tämä etäisyys riippuu tuulivoimalan lavan leveydestä, ja esimerkiksi Ruotsin ja Saksan tuulivoimarakentamisen suunnitteluohjeistuksessa määritellään, että välkevarjostus huomioidaan, mikäli lapa peittää vähintään 20 % Auringosta. Käytännössä tämä asettaa lavan leveydestä riippuvan maksimietäisyyden yksittäisen tuulivoimalan aiheuttamalle välkevaikutukselle, eikä sen ulkopuolella välkevaikutusta ole.

Kun lavan leveys on w metriä, niin 20 % Auringon peittoon perustuvan välkevarjostuksen maksimietäisyyden määrittämiseen voidaan johtaa laskentakaava

$$\text{maksimietäisyys} = (5 * d * w) / 1'097'780,$$

missä d on etäisyys Aurinkoon (150'000'000 km). Yleensä välkelaskennan maksimietäisyyden laskenta perustuu lavan keskimääräiseen leveyteen, joka määrää maksimietäisyyden. Käytännössä tuulivoimalan lapa ei ole vakiolevyinen: Levein kohta sijaitsee lähellä tuulivoimalan nappaa ja lapa kapenee huomattavasti kärkeä kohti liikuttaessa. Tällä perusteella lavan tyven välkevaikutus ulottuu huomattavasti pidemmälle kuin lavan kärjen, mikäli arviointiperusteena käytetään Auringon peittoastetta.

Seuraavassa kaaviokuvassa (Kuva 4-1) on esitetty malli tyypillisestä profiilista, jossa lavan maksimileveys on H etäisyydellä L lavan tyvestä. Lavan kokonaispituus on R ja lavan leveys 90 % etäisyydellä tyvestä on h . Lavan oletetaan kapenevan lineaarisesti arvosta H arvoon h liikuttaessa maksimikohdasta kärkeen. Tavanomaisesti välkelaskennassa tuulivoimalan keskimääräinen leveys on määritetty parametrien H ja h keskiarvona.



Kuva 4-1: Tuulivoimalan lavan malliprofiili.

Tämän raportin väkелaskennassa käytetään tuulivoimavalmistajan ilmoittamiin tietoihin perustuvaa lavan profiilitietoa. Laskennassa huomioitava roottorin säde vaihtelee välillä $[0, R]$ riippuen tarkastelupisteen etäisyydestä turbiineihin sekä lavan leveydestä ja sitä vastaavasta Auringon peittoasteesta. Tällä tavoin väkелaskennassa huomioidaan tuulivoimalan muuttuva lapaprofiili, ja saadaan realistisempia tuloksia kuin olettamalla tietty keskimääräinen lavan leveys ja sitä vastaava kiinteä maksimietäisyys.

5 VIITTEET

- [1] B. Tammelin et al.: Production of the Finnish Wind atlas. Wind Energy, 2011.
- [2] Boverket: Vindkraftshandboken, Planering och prövning av vindkraftverk på land och i kustnära vattenområden, 2009.
- [3] P. Pirinen et al.: Tilastoja Suomen ilmastosta 1981–2010, Ilmatieteen laitos, Raportteja 2012:1
- [4] Tuulivoimarakentamisen suunnittelu. Päiväys 2016. Ympäristöhallinnon ohjeita 5|2016.